

# Bassin Rhône-Méditerranée

## Situation des ressources en eaux souterraines fin Fev. 2015

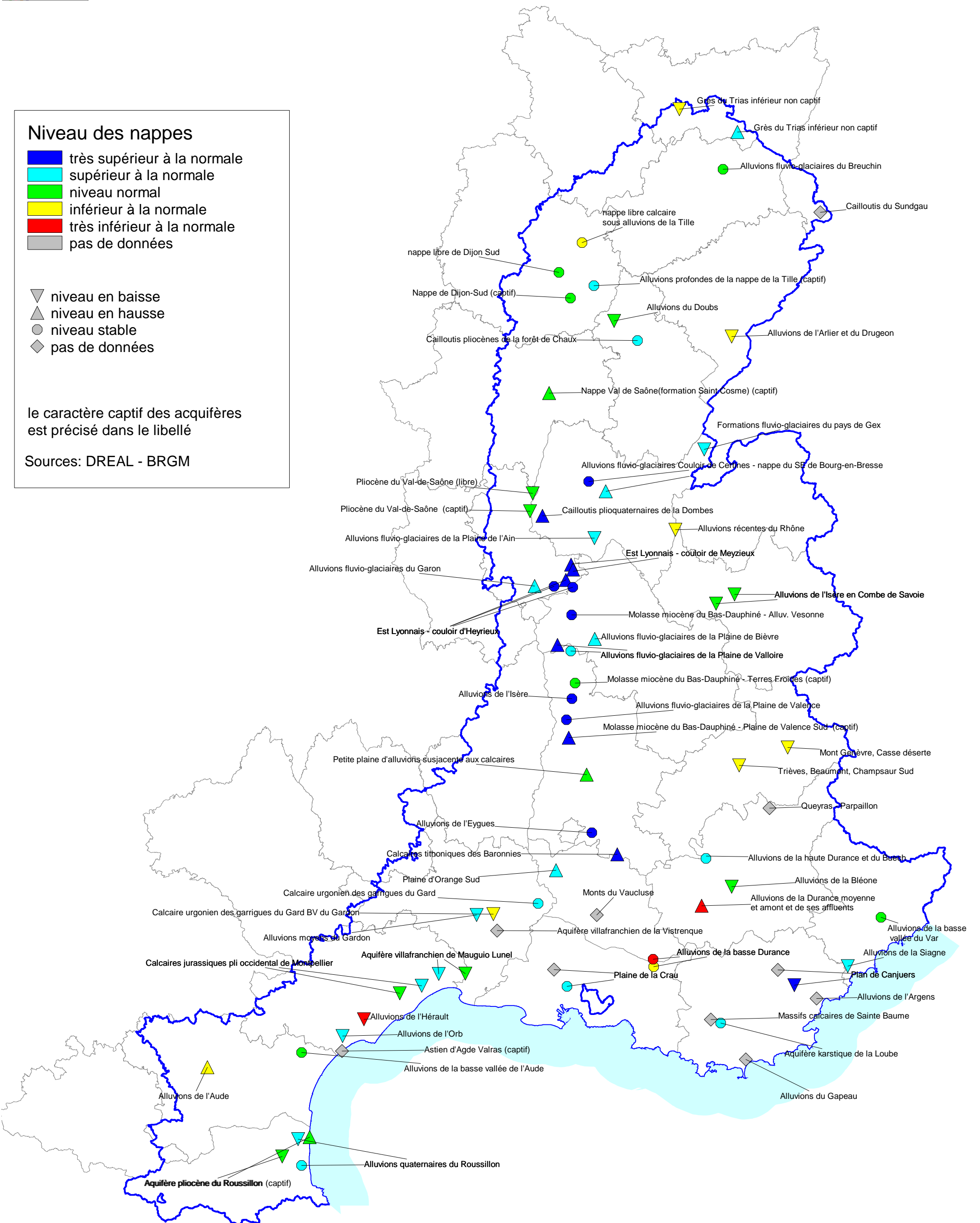
### Niveau des nappes

- très supérieur à la normale
- supérieur à la normale
- niveau normal
- inférieur à la normale
- très inférieur à la normale
- pas de données

- ▼ niveau en baisse
- ▲ niveau en hausse
- niveau stable
- ◆ pas de données

le caractère captif des aquifères est précisé dans le libellé

Sources: DREAL - BRGM



# BSH - Indicateurs Ponctuels (IP) du bassin Rhône-Méditerranée

## Niveau des nappes :

Code	Signification
5	Très supérieur à la normale
4	Supérieur à la normale
3	Niveau normal
2	Inférieur à la normale
1	Très inférieur à la normale
0	Indéterminé

## Evolution

Code
H = Hausse
S = Stable
B = Baisse
Indéterminé

Etat au : **1er mars 2015**

Relais bassin : DREAL bassin Rhône-Méditerranée

Producteurs(s) : BRGM et DREAL(s)

Code BSS (indice / désignation)	Région	Dépt.	Commune	Lieu-dit (ou nom du point)	Lambert 2 Etendu (m)		Entité hydrogéologique (Réf BDRHF v1)	
					X	Y	Nom	Code
03387X0040/S	LOR	88	RELANGES	piezomètre Srael de Relanges	872 960	2 353 300	Grès du Trias inférieur non captif	210b
03754X0015/F2	LOR	88	PLOMBIERE les Bains	F2 dit source La Napoléonienne	906 710	2 340 000	Grès du Trias inférieur non captif	210b
04447X0028	FRC	90	FLORIMONT	Etang Fourchu	955 010	2 293 220	Cailloutis du Sundgau	173
05553X0009	FRC	39	OUSSIÈRE	Oussière	848 465	2 218 410	Cailloutis plicocènes de la forêt de Chaux	104a
05285X0374	FRC	39	MOLAY	Tavaux	834 860	2 229 830	Alluvions du Doubs	102
05573X0084	FRC	25	DOMMARTIN	Houtaud	903 460	2 220 820	Alluvions de l'Arlier et du Drugeon	94i
04103X0022	FRC	70	BREUCHES	Forage C	898 290	2 318 270	Alluvions fluvo-glaciaires du Breuchin	85
05007X0014	BOU	21	COLLONGES LES PREMIERES	Les Champs Courbes	823 040	2 250 420	Alluvions profondes de la nappe de la Tille	174a
04994X0229	BOU	21	CHENOVE	Gendarmerie	802 730	2 258 070	Nappe libre de Dijon Sud	174 b
05271X0017	BOU	21	IZEURE	La plantation F9	809 500	2 243 140	Nappe de Dijon-Sud	174b
04702X0019	BOU	21	SPOY	Les Espeliers	816 100	2 275 557	Nappe libre calcaire sous alluvions de la Tille	99 a
05797X0145	BOU	71	SAINT CYR	Le Petit Chorme de Vieil Moulin	796 970	2 187 840	Nappe Val de Saône(formation Saint Cosme)	174g
06288X0096/SB	RHA	01	GEX	Forage PzB - Belle Ferme	887 355	2 154 890	Formations fluvo-glaciaires du pays de Gex	177
06775X0010/BOURSI	RHA	01	ANGLEFORT	Piezomètre de Boursin - BRGM	870 540	2 108 160	Alluvions récentes du Rhône (marais de Chautagne et Lavours)	542
06512X0037/STREMY	RHA	01	ST REMY	Forage St Rémy - BRGM	819 980	2 136 280	Alluvions fluvo-glaciaires Couloir de Certines - nappe du SE de Bourg-en-Bresse	151a
06518X0026/P2	RHA	01	TOSSIAT	Forage de Tossiat (Mulaty)	829 960	2 130 600	Alluvions fluvo-glaciaires Couloir de Certines - nappe du SE de Bourg-en-Bresse	151a
06742X0001/VILLEN	RHA	01	VILLENEUVE	Forage de Villeneuve (Muzard) - BRGM	793 109	2 116 187	Cailloutis plicocènes de la Dombes	151a
06993X0226/MEXI_2	RHA	01	MEXIMIEUX	Forage de Combe Mercier (Meximieux 2)	823 425	2 103 250	Alluvions fluvo-glaciaires de la Plaine de l'Ain	151f
08435X0010/NO8	RHA	26	SAOU	Forage le Pertuis	818 927	1 965 401	Petite plaine d'alluvions susjacentes aux calcaires	179
07948X0038/S	RHA	26	ROMANS-sur-Isère	Piézo. de Romans (Les Balmes - La Ferme)	810 313	2 009 638	Alluvions de l'Isère	152m
08184X0084/PZ1	RHA	26	VALENCE	piezomètre Valence 2 (Nord Ferme Agiron)	807 001	1 997 439	Alluvions fluvo-glaciaires de la Plaine de Valence	154a
08915X0026/PZ	RHA	26	NYONS	piezomètre de Nyons	821 830	1 931 610	Alluvions de l'Eygues	155a
09153X0024/S	RHA	26	PLAISANS	Piézo. d'Aygues-Astaud (Les Eyaliers)	836 645	1 918 840	Calcaires tithoniques des Baronnies	544e
07704X0079/S	RHA	26	MANTHES	Piézo. de la source de Manthes (Lapaillanche)	809 650	2 037 490	Alluvions fluvo-glaciaires de la Plaine de Valloire	152k
07944X0049/S	RHA	26	MARGES	Puit Deroux	812 155	2 018 705	Molasse miocène du Bas-Dauphiné - Terres Froides	152i
08188X0045/BERN	RHA	26	MONTMEYRAN	Piezomètre de Montmeyran (Bemoir)	808 450	1 986 990	Molasse miocène du Bas-Dauphiné - Plaine de Valence Sud / Drôme RD	152i
07464X0005/SM3	RHA	38	MOIDIEU-DETOURBE	Forage de Moidieu-Détourbe (Le Grand Champ)	810 150	2 058 550	Alluvions fluvo-glaciaires des Vallées de Vienne	152p
07703X0043/SDC	RHA	38	BOUGE-CHAMBALUD	forage de Bouge-Chambalud (Bel Air)	801 824	2 040 982	Alluvions fluvo-glaciaires de la Plaine de Valloire	152k
07476X0029/S	RHA	38	PENOL	piezomètre Bois des Burettes	823 560	2 044 566	Alluvions fluvo-glaciaires de la Plaine de Bièvre	152k
07266X0052/PS4	RHA	73	AITON	piezomètre d'Aiton	905 060	2 070 480	Alluvions de l'Isère en Combe de Savoie	325a
07494X0026/CRUET	RHA	73	CRUET	piezomètre de Cruet - BRGM	894 310	2 065 030	Alluvions de l'Isère en Combe de Savoie	325a
06741X0046/F1PLIO	RHA	69	ST GEORGES DE RENEINS	Forage F1 Pliocène - BRGM	785 852	2 118 865	Pliocène du Val-de-Saône	540b
06505X0080/FORC	RHA	69	TAPONAS	Piezomètre de Taponas	787 450	2 129 350	Pliocène du Val-de-Saône	540c
06995C0271/S	RHA	69	GENAS	piezomètre d'Azieu	810 100	2 086 770	Alluvions fluvo-glaciaires du couloir de Meyzieu	152c
06995C0208/S1	RHA	69	GENAS	Piezomètre des Bouvarets	810 920	2 084 985	Alluvions fluvo-glaciaires du couloir de Meyzieu	152c
07224X0106/S	RHA	69	ST PRIEST	piezomètre d'Heyrieux (Cheval-Blanc)	806 760	2 078 920	Alluvions fluvo-glaciaires de la Plaine de l'est Lyonnais - couloir d'Heyrieux	152e
07231C0252/BUCLAY	RHA	69	HEYRIEUX	piezomètre de Buclay	810 850	2 074 700	Alluvions fluvo-glaciaires de la Plaine de l'est Lyonnais - couloir d'Heyrieux	152e
07223C0113/S	RHA	69	CORBAS	piezomètre de Corbas (Pillon)	799 840	2 075 150	Alluvions fluvo-glaciaires de la Plaine de l'est Lyonnais - couloir d'Heyrieux (Mions)	152e
07221D0023/S	RHA	69	VOURLES	Piezomètre de Millery	788 520	2 075 240	Alluvions fluvo-glaciaires du Garon	621d
09934X0087	PACA	13	ST MARTIN DE CRAU	Le Mas d'Archimbaud (P18B)	799 788	1 851 732	Plaine de la Crau	157

Indicateur national	Niveau des nappes	Evolution récente	Commentaires
	2	B	Les niveaux piézométriques de la nappe des grès du Trias inférieur non captifs du bassin versant de la Saône sont orientés à la baisse ou à la hausse en février A Plombières-les-Bains le niveau piézométrique est supérieur à la normale et à Relanges il est inférieur à la normale.
	4	H	
IG n°23	0	I	Problème technique de télétransmission.
	4	S	Le niveau de la nappe des cailloutis plicocènes de la forêt deChaux est stable au droit d'Oussière. La période de retour de cette nappe est comprise entre 5 ans et 10 ans humide.
	3	B	La nappe des alluvions du Doubs à Molay est en baisse. La période de retour de cette nappe est comprise entre 2,5 ans sec et 2,5 ans humide.
	2	B	La nappe des alluvions de l'Arlier et du Drugeon est en baisse. La période de retour de cette nappe est comprise entre 2,5 et 5 ans sec.
	3	S	La nappe des alluvions fluvo-glaciaires du Breuchin a un niveau stable. La période de retour de cette nappe est comprise entre 2,5 ans sec et 2,5 ans humide.
	4	S	Le niveau de la nappe des alluvions profondes de la nappe de la Tille est stable. La période de retour de cette nappe est comprise entre 5 ans et 10 ans humide.
	3	S	Le niveau de la nappe libre du sud de Dijon est stable sur les points d'eau de Chenove. La période de retour de cette nappe, au niveau de Chenove est comprise entre 2,5 ans sec et 2,5 ans humide.
	3	S	La nappe de Dijon-Sud est stable. La période de retour de cette nappe est comprise entre 2,5 ans sec et 2,5 ans humide.
	2	S	La nappe libre calcaire sous alluvions de la Tille est stable. La période de retour de cette nappe est comprise entre 2,5 ans et 5 ans sec.
	3	H	La nappe du Val de Saône a un niveau légèrement en hausse. La période de retour de cette nappe est comprise entre 2,5 ans sec et 2,5 ans humide.
IG n°24	4	B	La nappe du Pays de Gex poursuit sa vidange sur le mois de Février (tendance affichée depuis 10 mois). Ses niveaux baissent toujours lentement, en restant encore élevés pour la saison (supérieurs aux hautes-eaux quinquennales). Malgré une dynamique inverse à la dynamique saisonnière habituelle, sa situation relative ne change pas (encore).
	2	B	La nappe des alluvions de la plaine du Rhône bénéficie d'un court répit en début de mois, avant de s'inscrire fortement à la baisse sur tout Février. Ses niveaux se relèvent un peu puis plongent fortement, passant sous les valeurs quinquennales de basses-eaux pour la saison. La situation relative de cette nappe se dégrade.
	5	S	La nappe des dépôts plio-quaternaires de la Dombes-Bresse tend à progresser faiblement sur le mois. Ses niveaux sont en hausse à l'amont (conforme au comportement saisonnier habituel) comme à l'aval (plus fortement), en restant hauts pour la saison (valeurs de hautes-eaux plus que quinquennales à décennales). La situation relative ne change pas par rapport au mois précédent.
	4	H	La nappe des cailloutis de la Dombes se maintient à de hauts niveaux durant Février, améliorant même un peu sa situation. Grâce à plusieurs épisodes de recharge, ses niveaux progressent restent se positionnent à hauteur de hautes-eaux décennales de saison. La situation relative s'améliore.
	5	H	La nappe des alluvions fluvo-glaciaires de la plaine de l'Ain s'inscrit en baisse durant février, malgré 2 brefs épisodes de recharge. Ses niveaux fléchissent un peu, en restant hauts pour la saison (valeurs supérieures aux hautes-eaux quinquennales). La situation relative de la nappe se dégrade un peu par rapport au mois précédent.
	4	B	La nappe du synclinal de Saou (système mixte karst-alluvions) regagne encore un peu de volume sur le dernier mois, après un bref épisode de vidange (début de mois). Ses niveaux restent au-dessus des normales de saison. La situation relative de la nappe ne change pas.
IG n°25	5	S	La nappe des alluvions anciennes de l'Isère en Plaine de Valence reste très stable sur tout Février. Ses niveaux oscillent faiblement, en maintenant d'égalées valeurs de très hautes-eaux plus que décennales pour la saison. Après une baisse le mois dernier, cette dynamique habituelle contribue au maintien de sa bonne situation relative.
	5	S	La nappe des alluvions anciennes en Plaine de Valence freine sa vidange et se stabilise en Février à hauteur de très hauts niveaux de nappe saisonniers (hautes-eaux plus que décennales). La situation relative de la nappe n'évolue pas par rapport au mois précédent.
	5	S	La nappe d'accompagnement de la rivière Eygues poursuit un peu sa recharge avant de se stabiliser une grande partie de Février, puis repartir à la baisse. Ses niveaux progressent au final au-dessus de très hautes-eaux pour la saison (fréquence plus que décennale). La situation relative de la nappe n'évolue cependant pas par rapport au mois dernier.
	5	H	La nappe des calcaires karstifiés du Diois - Baronnies repart en nette hausse durant Février, à l'occasion de 2 épisodes majeurs de recharge en milieu de mois. Ses niveaux progressent fortement, pour atteindre des valeurs de très hautes-eaux de saison (historiques, plus que décennales). La situation relative de la nappe s'améliore nettement par rapport au mois dernier.
	4	S	La nappe des alluvions de la Plaine de Valloire fléchit encore un peu avant de se relever en 2e partie de mois restant au final stable par rapport au mois dernier. Ses niveaux restent quasi-inchangés, fluctuant à hauteur de hautes-eaux quinquennales de saison. La situation relative ne change pas.
IG n°25	3	S	La nappe de la molasse Miocène reste assez stable dans sa partie nord, et toujours en hausse sur la plaine de Valence: durant le dernier mois. Ses niveaux fléchissent un peu en début de mois, avant de profiter de plusieurs épisodes de recharges (continue au sud), confirmant des valeurs moyennes à très hautes pour la saison. La situation relative de la nappe ne change pas par rapport à fin Janvier.
	5	H	La nappe des alluvions fluvo-glaciaires des vallées de Vienne reste remarquablement stable sur tout Février. Après une nette hausse le mois dernier, ses niveaux restent installés à hauteur de très hautes-eaux de saison (valeurs plus que décennales). La situation relative de la nappe n'évolue pas.
	5	H	Les nappes du Bas Dauphiné en Plaine de Bièvre-Valloire poursuivent leur reprise en Février, améliorant des niveaux déjà hauts pour la saison, entre hautes-eaux (quinquennales) et très hautes-eaux (décennales). La situation relative n'évolue pas par rapport au dernier mois.
	4	H	
	3	B	La nappe d'accompagnement de l'Isère en Combe de Savoie repart en baisse, de façon quasi-continue sur Février. Après l'atteinte de hauts-niveaux en début de mois, ses niveaux fléchissent et chutent à hauteur de valeurs à peine supérieures aux médianes pour la saison. Cette dynamique de baisse contribue à dégrader sa situation relative par rapport au mois dernier.
	3	B	
IG n°24	3	B	La nappe du Pliocène du Val de Saône repart en tendance baissière (après une forte hausse le mois dernier), continue sur tout Février. Les niveaux fléchissent assez nettement, en atteignant désormais des valeurs à peine moyennes pour la saison. La situation relative de la nappe se dégrade nettement par rapport à Janvier.
	3	B	
	5	H	La nappe de l'Est Lyonnais dans le couloir de Meyzieu reprend une tendance haussière en Février, sur tout son territoire. Ses niveaux se relèvent à l'occasion de plusieurs recharges, et restent très hauts pour la saison (hautes-eaux plus que décennales). La situation relative n'évolue pas par rapport au mois précédent.
	5	H	
	5	H	La nappe de l'Est Lyonnais dans le couloir d'Heyrieux reste relativement stable sur le mois, évoluant toujours à de hauts niveaux saisonniers. Ces derniers fléchissent très lentement sur le mois, avant de bénéficier d'une légère remontée équivalente (plus soutenue en partie centrale). Ils restent au final supérieurs aux hautes-eaux décennales. La situation relative n'évolue pas par rapport au mois précédent.
	5	S	
	5	S	
	4	H	La nappe des alluvions fluvo-glaciaires de la vallée du Garon poursuit sa hausse sur le dernier mois. Ses niveaux se redressent en continu, à hauteur de hautes-eaux plus que quinquennales. La situation relative de la nappe n'évolue pas.
	0	I	Comme en janvier, la nappe de la Crau est demeurée haute en février, même si aucun événement pluvieux n'est venu perturber la piézométrie. Alors que dans les secteurs d'Istres ou de Saint-Martin-de-Crau, les niveaux ont baissé entre 35 et 60 cm, dans l'ouest, ils

Code BSS (indice / désignation)	Région	Dépt.	Commune	Lieu-dit (ou nom du point)	Lambert 2 Etendu (m)		Entité hydrogéologique (Réf BDRHF v1)		Indicateur national	Niveau des nappes	Evolution récente	Commentaires
					X	Y	Nom	Code				
10193X0151	PACA	13	ISTRES	Peyre-Estève (P29B)	807 453	1 841 949	Plaine de la Crau	157		4	S	sont restés stables. L'an dernier à pareille époque, les niveaux étaient plus hauts et en hausse durant le mois. Sur un plan statistique les niveaux quinquennaux humides sont atteints et parfois dépassés en février 2015.
09952X0082	PACA	13	MEYRARGUES	Péage Pont de Pertuis	857 870	1 853 429	Alluvions de la basse Durance	329f		2	S	La nappe de la Durance, aussi bien dans la vallée de la moyenne Durance que dans celle de la basse Durance n'a pas connu de crue importante en février. Les niveaux sont restés stables dans la plupart des cas, sur plusieurs points de la moyenne ou de la basse vallée de la Durance, cependant, une remontée de un à deux décimètres est visible durant la seconde quinzaine de mois. Le mois s'est alors terminé plus de 10 cm plus haut qu'il n'avait commencé. Les niveaux furent en février 2015 sensiblement inférieurs à ceux de février 2014.
09952X0093	PACA	84	PERTUIS	Campagne Martelly	857 624	1 857 733	Alluvions de la basse Durance	329f		1	S	Par rapport aux statistiques des séries, le mois de février 2015 montre des niveaux le plus souvent proches ou supérieurs aux niveaux médians.
09436X0138	PACA	05	LA BRILLANNE	Princesse	885 806	1 888 962	Alluvions de la Durance moyenne et amont et de ses affluents	329e		1	H	
09146X0074	PACA	84	CAMARET-SUR-AIGUES	Quartier Jonquier Morelle	801 046	1 909 656	Plaine d'Orange Sud	155b	IG n°30	4	H	Les nappes des plaines de Vaucluse sont demeurées stables durant le mois de février, mis à part la nappe de la plaine d'Orange sud, qui a connu un, voire deux pics de crue (limités à 10 cm) durant la seconde quinzaine de février. Les données disponibles montrent que les nappes des plaines de Vaucluse ont connu une bonne recharge hivernale, avec des niveaux un peu inférieurs à ceux de l'an passé à pareille époque. Sur un plan statistique, les niveaux médians sont dépassés et les niveaux quinquennaux humides sont parfois atteints.
10247X0096	PACA	83	FREJUS	L'Argens	952 806	1 834 907	Alluvions de l'Argens	332		0	I	Certaines des nappes alluviales littorales (Siagne et Giscle-Môle notamment) ont connu des épisodes de crue de l'ordre de 15 à 20 cm durant la seconde quinzaine de février, qui ont permis une recharge ponctuelle. Ces nappes sont à un niveau relativement élevé, tandis que les autres, qui n'ont pas connu de crue (Var, Gapeau ou Argens) demeurent à des niveaux médians.
10651X0293	PACA	83	HYERES	Le Moulin Premier (P134B)	911 548	1 799 348	Alluvions du Gapeau	333		0	I	
09995X0028	PACA	06	PEGOMAS	Le Boutéou	970 976	1 853 723	Alluvions de la Siagne	331		4	B	
09724X0023	PACA	06	GILETTE	Le Devens (P2)	990 486	1 882 246	Alluvions de la basse vallée du Var	330		3	S	
09441X0013	PACA	04	MALLEMOISSON	Le Stade	903 460	1 900 062	Alluvions de la Bléone	329c		3	B	
09172X0094/P	PACA	04	SISTERON	Puits Isnard	887 732	1 919 317	Alluvions de la haute Durance et du Buech	329b		4	S	Les données disponibles concernant les aquifères des vallées ou des massifs de montagne montrent que les nappes ont relativement peu varié durant le mois de février, sans épisode de crue visible. Les données sont en général inférieures à celles de février 2014. Cette année, les niveaux médians ne sont que rarement atteints.
08472X0007	PACA	05	LA ROCHE DE RAME	Usine	935 976	1 981 126	Mont Genève, Casse déserte	546j		2	B	
08466X0009	PACA	05	ST JEAN ST NICOLAS	Les Ricoux	907 683	1 970 754	Trièves, Beaumont, Champsaur Sud	545a		2	B	
08944X0003	PACA	04	LE LAUZET - UBAYE	La source Pruneyret	925 470	1 945 810	Queyras - Parpailion	546k		0	I	
09672X0036	PACA	84	FONTAINE-DE-VAUCLUSE	Sorgomètre, vasque supérieure	824 783	1 883 573	Monts du Vaucluse	162		3	H	
10453X0295	PACA	83	LA ROQUEBRUSSANNE	Chemin de Cuers	896 946	1 820 685	Provence Est (aquifère karstique de la Loube)	552	IG n°29	4	S	A la Fontaine-de-Vaucluse, la courbe des débits a connu une crue en février dans la deuxième décennie : après un début de mois marqué par une baisse régulière des débits (Q = 24,1 m3/s le 01/02, Q = 18,5 m3/s le 14/02), les débits remontent jusqu'à un maximum de 35,1 m3/s le 23/02. En fin de mois, le débit était retombé à 30,8 m3/s. Le débit moyen de février 2015 s'établit à 22,5 m3/s ; ce qui est un débit médian pour le mois de février.
10241X0173	PACA	83	LA MOTTE	Combaron	939 967	1 842 688	Plan de Canjurs - région de Fayence	168c		5	B	Les données disponibles concernant les aquifères karstiques dans la région montrent que le mois de février a commencé par une période de vidange non influencée, suivie dans la dernière décennie du mois par un épisode de crue qui a permis des débits moyens mensuels. En moyenne les débits de février 2015 sont élevés, ce qui traduit une recharge convenable de ces aquifères.
09978X0023	PACA	83	CHATEAUDOUBLE	Nartuby, Source des Frayères	930 341	1 851 639	Plan Canjurs - Bois de Frannes	167d		0	I	
10452X0232	PACA	83	MAZAUGUES	source Le Caramy	891 265	1 822 558	Massifs calcaires de Sainte Baume	164a		0	I	
09405X0229	LRO	30	ROCHFORD DU GARD	piézomètre de Rochefort	790 541	1 890 360	Calcaire urgonien des garrigues du Gard	149a2		4	S	En contexte de précipitations significatives les niveaux piézométriques sont stables par rapport au mois de janvier. La situation de l'aquifère reste favorable.
09395X0065	LRO	30	SAINTE ANASTASIE *	piézomètre Nicolas	764 488	1 884 139	Calcaire urgonien des garrigues du Gard BV du Gardon	149b		2	B	Malgré le contexte de précipitations significatives, les niveaux piézométriques sont en baisse par rapport au mois précédent. La situation de l'aquifère se détériore et devient défavorable.
09388X0052	LRO	30	LA CALMETTE	piézomètre de Vignot	754 727	1 883 488	Alluvions moyens du Gardon	336c		4	B	Malgré le contexte de précipitations significatives, les niveaux piézométriques sont en baisse par rapport au mois précédent. La situation de l'aquifère reste favorable.
09652X0199	LRO	30	NÎMES / COURBESSAC *	Piezomètre Courbessac	766 813	1 874 520	Alluvions quaternaires ey Villafranchiennes de la Vistrenque	150a		0	I	
09917X0192	LRO	34	MARSILLARGUES / P5	Piezomètre P5CEHM	748 165	1 849 435	Aquifère Villafranchien de mauguio Lunel	328e	IG n°26	3	B	En contexte de précipitations limitées, les niveaux piézométriques sont en baisse par rapport au mois précédent. La situation de l'aquifère se détériore et devient normale.
09915X0181	LRO	34	SAINT-AUNES	piézomètre de Saint Aunes	732 653	1 849 259	Aquifère villafranchien de Manguio Lunel	328e		4	B	En contexte de précipitations limitées, les niveaux piézométriques sont en baisse. La situation de l'aquifère reste favorable.
09907X0321	LRO	34	ST JEAN DE VEDAS *	Piezomètre Midi Libre	722 815	1 842 290	Calcaires jurassiques Pli occidental de Montpellier - Gardiole Etang de Thau	143c		4	B	En contexte de précipitations limitées, les niveaux piézométriques sont en baisse par rapport au mois précédent. La situation de l'aquifère se détériore et devient favorable.
10162X0226	LRO	34	COURNONSEC *	piézomètre de Vène	709 938	1 837 862	Calcaire jurassique pli ouest de Montpellier	143a		3	B	En contexte de précipitations limitées, les niveaux piézométriques sont en baisse par rapport au mois précédent. La situation de l'aquifère se détériore et devient normale.
10157X0104	LRO	34	FLORENSAC *	piézomètre 1777	689 086	1 822 874	Alluvions de l'Hérault	334b		1	B	En contexte de précipitations limitées, les niveaux piézométriques sont en baisse par rapport au mois précédent. La situation de l'aquifère se détériore et devient défavorable.
10405X0124	LRO	34	SERIGNAN	Sérignan F17	676 631	1 812 950	Alluvions de l'Orb	336	IG n°27	4	B	En contexte de précipitations limitées, les niveaux piézométriques sont en baisse par rapport au mois précédent. La situation de l'aquifère reste favorable.
10405X0171	LRO	34	VALRAS	Valras	676 325	1 804 274	Astien d'Agde Valras	226		0	I	En contexte de précipitations limitées sur les secteurs héraultais, on assiste à une diminution généralisée des niveaux piézométriques dans les alluvions de l'Hérault, les situations sont comprises entre défavorable et défavorable. Pour les alluvions de l'Orb, les niveaux piézométriques sont en baisse les situations restent favorables. Enfin, pour les alluvions de l'Aude en contexte de précipitations significatives, les niveaux sont stables ou en hausse, les situations sont comprises entre défavorable et normale.
10592X0012	LRO	11	COUFFOULENS	piézomètre de Couffoulens	597 806	1 794 807	Alluvions de l'Aude	337b		2	H	En contexte de précipitations significatives, le niveau piézométrique est en hausse. La situation de l'aquifère s'améliore et devient défavorable.
10396X0162	LRO	11	MOUSSAN *	piézomètre de Védillan	652 664	1 803 412	Alluvions de la basse vallée de l'Aude	337a		3	S	En contexte de précipitations significatives, les niveaux piézométriques sont stables par rapport au mois précédent. Toutefois, la situation de l'aquifère se détériore et devient normale.
10911X0219	LRO	66	ST HIPPOLYTE	Piezomètre Hippo	650 708	1 752 923	Alluvions quaternaires du Roussillon	146		4	B	En contexte de faibles précipitations, le niveau piézométrique est en baisse. La situation de l'aquifère reste favorable.
10972X0003	LRO	66	ALENYA	Alenya	652 718	1 737 620	Alluvions quaternaires du Roussillon	146		4	S	En contexte de faibles précipitations, le niveau piézométrique est stable. La situation de l'aquifère reste favorable.
10908X0263	LRO	66	PERPIGNAN	Piezomètre Figuières	641 491	1 742 808	Aquifère pliocène du Roussillon	225	IG n°28	3	B	En contexte de faibles précipitations, le niveau piézométrique est en baisse. La situation de l'aquifère se détériore et devient normale.
10912X0112	LRO	66	LE BARCARES PN3	Piezomètre Barcarès plage N3	657502	1754148	Aquifère pliocène supérieur du Roussillon	225		3	H	Malgré le contexte de faibles précipitations, le niveau piézométrique est en hausse. La situation de l'aquifère s'améliore et devient normale.